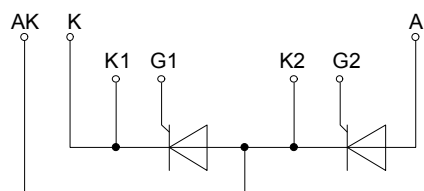
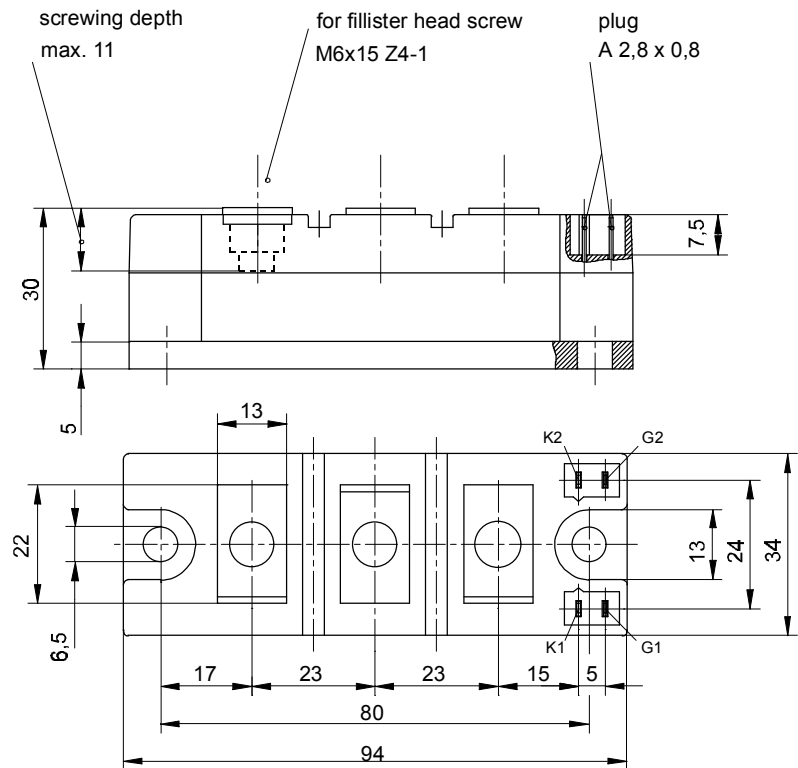


European Power-  
Semiconductor and  
Electronics Company  
GmbH + Co. KG

## Marketing Information TT 162 N



# TT 162 N, TD 162 N, DT 162 N

Elektrische Eigenschaften		Electrical properties					
<i>Höchstzulässige Werte</i>		<i>Maximum rated values</i>					
Periodische Vorwärts- und Rückwärts-Spitzenperrspannung	repetitive peak forward off-state and reverse voltages	$t_{vj} = -40^{\circ}\text{C} \dots t_{vj\ max}$		$V_{\text{DRM}}, V_{\text{RRM}}$	600 800 1000		V
Vorwärts-Stoßspitzenperrspannung	non-repetitive peak forward off-state voltage	$t_{vj} = -40^{\circ}\text{C} \dots t_{vj\ max}$		$V_{\text{DSM}} = V_{\text{DRM}}$	1200 1400 1600		V
Rückwärts-Stoßspitzenperrspannung	non-repetitive peak reverse voltage	$t_{vj} = +25^{\circ}\text{C} \dots t_{vj\ max}$		$V_{\text{RSM}} = V_{\text{RRM}}$		+ 100	V
Durchlaßstrom-Grenzeffektivwert	RMS on-state current			$I_{\text{TRMSM}}$		260	A
Dauergrenzstrom	average on-state current	$t_c = 81^{\circ}\text{C}$		$I_{\text{TAVM}}$		162	A
Stoßstrom-Grenzwert	surge current	$t_{vj} = 25^{\circ}\text{C}, t_p = 10\ \text{ms}$		$I_{\text{TSM}}$		5200	A
Grenzlastintegral	$\int i^2 t$ -value	$t_{vj} = t_{vj\ max}, t_p = 10\ \text{ms}$				4400	A
Kritische Stromteilheit	current	$t_{vj} = 25^{\circ}\text{C}, t_p = 10\ \text{ms}$		$\int i^2 dt$		135000 A <sup>2</sup> s	
Kritische Spannungsteilheit	voltage	$t_{vj} = t_{vj\ max}, t_p = 10\ \text{ms}$				97000 A <sup>2</sup> s	
		$v_D \leq 67\%, V_{\text{DRM}}, f_o = 50\ \text{Hz}$		$(di/dt)_{\text{cr}}$		150 A/ $\mu$ s	
		$v_L = 10\text{V}, i_{\text{GM}} = 0,6\text{A}, di_G/dt = 0,6\text{A}/\mu\text{s}$					
		$t_{vj} = t_{vj\ max}, v_D = 0,67\ V_{\text{DRM}}$		$(dv/dt)_{\text{cr}}$		1000 V/ $\mu$ s	
<i>Charakteristische Werte</i>		<i>Characteristic values</i>					
Durchlaßspannung	on-state voltage	$t_{vj} = t_{vj\ max}, i_T = 500\text{ A}$		$V_T$		max.1,41	V
Schleusenspannung	threshold voltage	$t_{vj} = t_{vj\ max}$		$V_{T(\text{TO})}$		0,85	V
Ersatzwiderstand	slope resistance	$t_{vj} = t_{vj\ max}$		$r_T$		0,95	m $\Omega$
Zündstrom	gate trigger current	$t_{vj} = 25^{\circ}\text{C}, v_D = 6\text{ V}$		$I_{\text{GT}}$		max. 150	mA
Zündspannung	gate trigger voltage	$t_{vj} = 25^{\circ}\text{C}, v_D = 6\text{ V}$		$V_{\text{GT}}$		2	V
Nicht zündender Steuerstrom	gate non-trigger current	$t_{vj} = t_{vj\ max}, v_D = 6\text{ V}$		$I_{\text{GD}}$		max.10	mA
Nicht zündende Steuerspannung	gate non-trigger voltage	$t_{vj} = t_{vj\ max}, v_D = 0,5\ V_{\text{DRM}}$		$V_{\text{GD}}$		max.0,25	V
Haltestrom	holding current	$t_{vj} = 25^{\circ}\text{C}, v_D = 6\text{ V}, R_A = 5\ \Omega$		$I_H$		max. 200	mA
Einraststrom	latching current	$t_{vj} = 25^{\circ}\text{C}, v_D = 6\text{ V}, R_{\text{GK}} > = 10\ \Omega$		$I_L$		max.800	mA
Vorwärts- und Rückwärts-Sperrstrom	forward off-state and reverse currents	$i_{\text{GM}} = 0,6\text{ A}, di_G/dt = 0,6\text{ A}/\mu\text{s}, t_g = 20\ \mu\text{s}$		$i_D, i_R$		max. 30	mA
Zündverzug	gate controlled delay time	$t_{vj} = t_{vj\ max}, v_D = V_{\text{DRM}}, v_R = V_{\text{RRM}}$				max.3	$\mu$ s
Freiwerdezeit	circuit commutated turn-off time	$t_{\text{g}}=25^{\circ}\text{C}, i_{\text{GM}} = 0,6\text{ A}, di_G/dt = 0,6\text{ A}/\mu\text{s}$		$t_{\text{gd}}$		typ.200	$\mu$ s
Isolations-Prüfspannung	insulation test voltage	siehe Techn. Er./see Techn. Inf.		$t_q$			
		RMS, f = 50 Hz, t = 1 min		$V_{\text{ISOL}}$		2,5	kV
<i>Thermische Eigenschaften</i>		<i>Thermal properties</i>					
Innerer Wärmewiderstand	thermal resistance, junction to case	$\Theta = 180^{\circ}\text{el.sinus: pro Modul/per module}$		$R_{\text{thJC}}$		max.0,1	°C/W
		pro Zweig/per arm				max.0,2	°C/W
		DC: pro Modul/per module				max.0,096	°C/W
		pro Zweig/per arm				max.0,192	°C/W
Übergangs-Wärmewiderstand	heatsink	pro Modul/per module		$R_{\text{thCK}}$		max.0,03	°C/W
		pro Zweig/per arm				max.0,06	°C/W
Höchstzul. Sperrschiichttemperatur	max. junction temperature	$t_{vj\ max}$				125	°C
Betriebstemperatur	operating temperature	$t_{c\ op}$				-40...+125	°C
Lagertemperatur	storage temperature	$t_{stg}$				-40...+130	°C
<i>Mechanische Eigenschaften</i>		<i>Mechanical properties</i>					
Gehäuse, siehe Seite	case, see page					1	
Si-Elemente mit Druckkontakt	Si-pellet with pressure contact						
Innere Isolation	internal insulation						
Anzugsdrehmoment für mechanische Befestigung	mounting torque	Toleranz/tolerance +/- 15%		M1		AIN	
Anzugsdrehmoment für elektrische Anschlüsse	terminal connection torque	Toleranz/tolerance +5%/-10%		M2		6	Nm
Gewicht	weight			G		typ.310	g
Kriechstrecke	creepage distance					15	mm
Schwingfestigkeit	vibration resistance	f = 50 Hz				5 . 9,81	m/s <sup>2</sup>

Diese Module können auch mit gemeinsamer Anode oder gemeinsamer Kathode geliefert werden.

These modules can also be supplied with common anode or common cathode.

Recognized by UNDERWRITERS LABORATORIES INC.

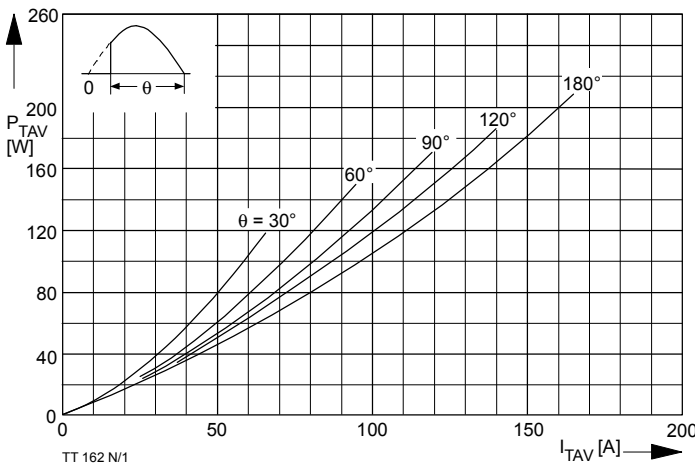


Bild / Fig. 1  
Durchlaßverlustleistung je Zweig / On-state power loss per arm  
 $P_{TAV} = f(I_{TAV})$   
Parameter: Stromflußwinkel / current conduction angle  $\theta$

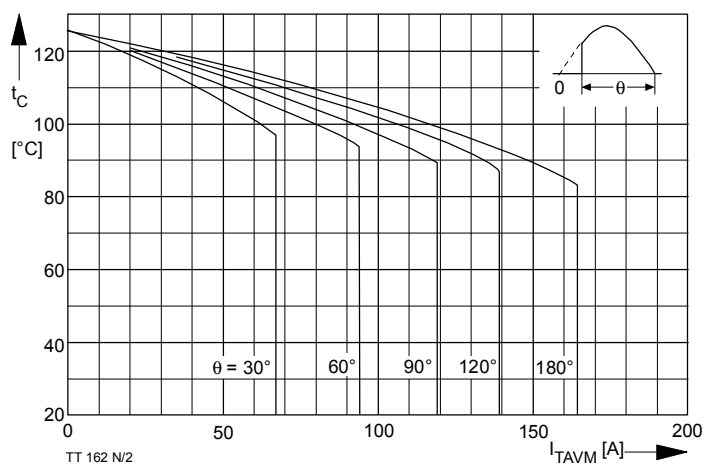


Bild / Fig. 2  
Höchstzulässige Gehäusetemperatur / Maximum allowable case temperature  
 $t_C = f(I_{TAVM})$   
Strombelastung je Zweig / current load per arm  
Parameter: Stromflußwinkel / current conduction angle  $\theta$

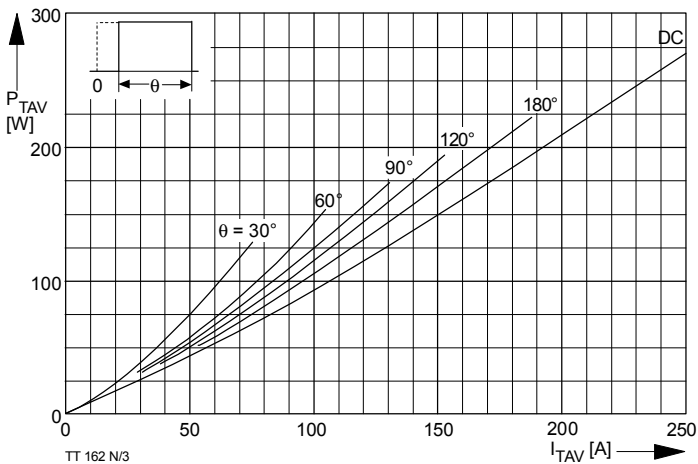


Bild / Fig. 3  
Durchlaßverlustleistung je Zweig / On-state power loss per arm  
 $P_{TAV} = f(I_{TAV})$   
Parameter: Stromflußwinkel / current conduction angle  $\theta$

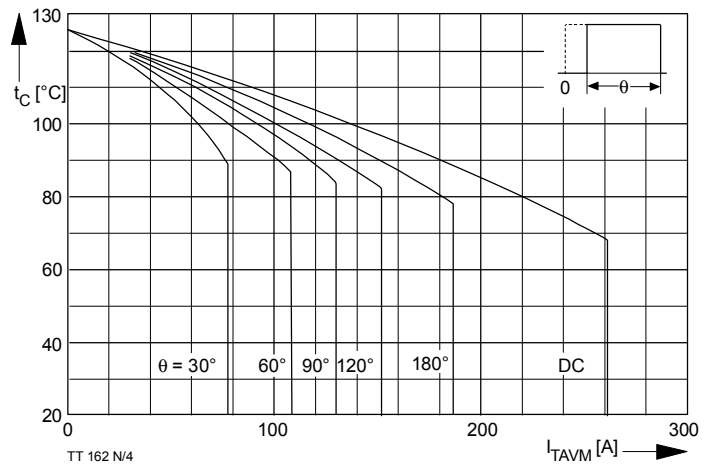


Bild / Fig. 4  
Höchstzulässige Gehäusetemperatur / Maximum allowable case temperature  
 $t_C = f(I_{TAVM})$   
Strombelastung je Zweig / current load per arm  
Parameter: Stromflußwinkel / current conduction angle  $\theta$

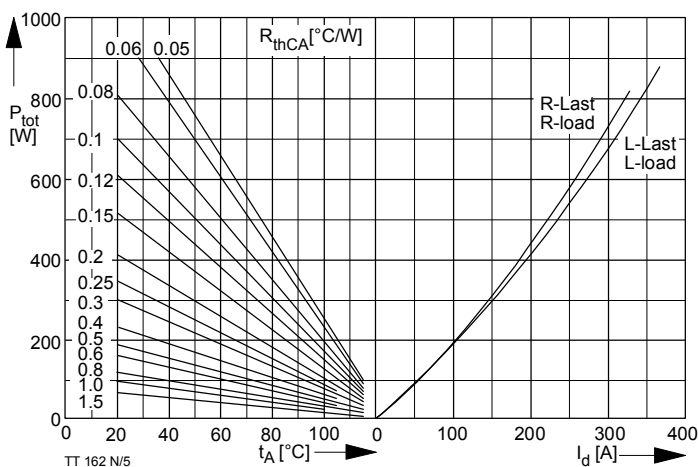


Bild / Fig. 5  
B2 - Zweipuls-Brückenschaltung / Two-pulse bridge circuit  
Höchstzulässiger Ausgangsstrom / Maximum rated output current  $I_d$   
Gesamtverlustleist. der Schaltung / total power dissip. of the circuit  $P_{tot}$   
Parameter: Wärmewiderstand zwischen Gehäuse und Umgebung / thermal resistance case to ambient  $R_{thCA}$

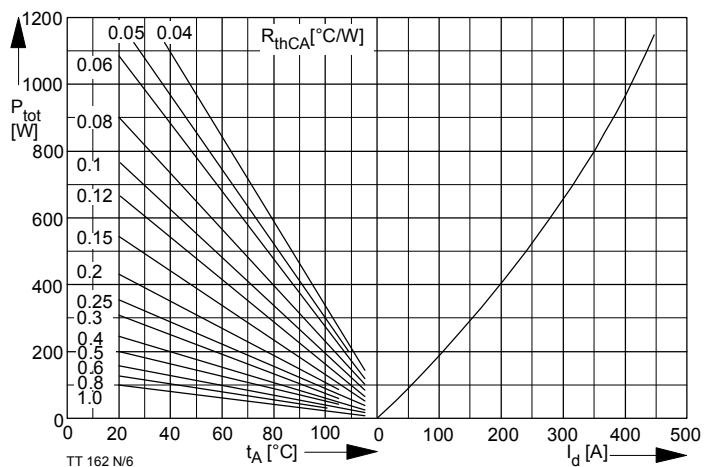


Bild / Fig. 6  
B6 - Sechspuls-Brückenschaltung / Six-pulse bridge circuit  
Höchstzulässiger Ausgangsstrom / Maximum rated output current  $I_d$   
Gesamtverlustleist. der Schaltung / Total power dissip. of the circuit  $P_{tot}$   
Parameter: Wärmewiderstand zwischen Gehäuse und Umgebung / thermal resistance case to ambient  $R_{thCA}$

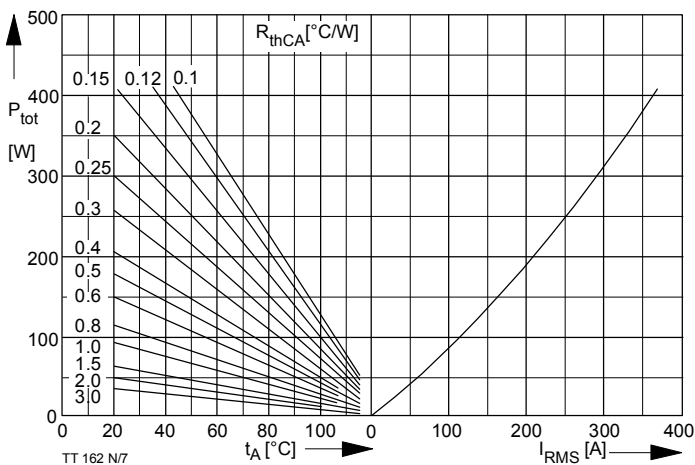


Bild / Fig. 7  
W1C - Einphasen-Wechselwegschaltung / Single-phase inverse parallel circuit  
Höchstzulässiger Effektivstrom / Maximum ratet RMS current  $I_{\text{RMS}}$   
Gesamtverlustleist. der Schaltung / Total power dissip. of the circuit  $P_{\text{tot}}$   
Parameter: Wärmewiderstand zwischen Gehäuse und Umgebung/ thermal resistance case to ambient  $R_{\text{thCA}}$

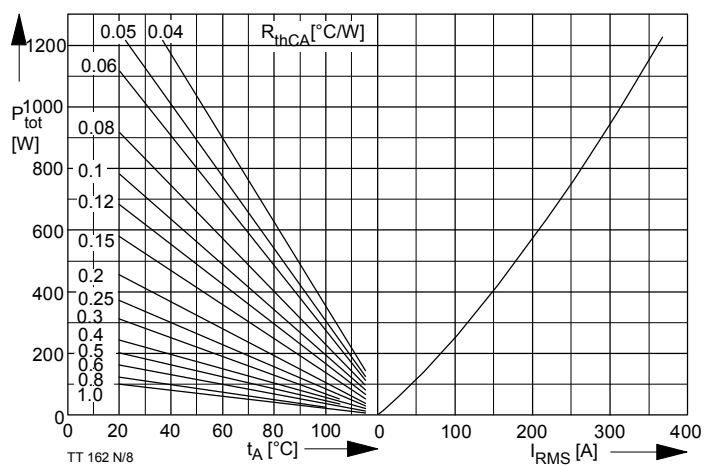


Bild / Fig. 8  
W3C - Dreiphasen-Wechselwegschaltung / Three-phase inverse parallel circuit  
Höchstzulässiger Effektivstrom je Phase / Maximum ratet RMS current per phase  $I_{\text{RMS}}$   
Gesamtverlustleist. der Schaltung / Total power dissip. of the circuit  $P_{\text{tot}}$   
Parameter: Wärmewiderstand zwischen Gehäuse und Umgebung/ thermal resistance case to ambient  $R_{\text{thCA}}$

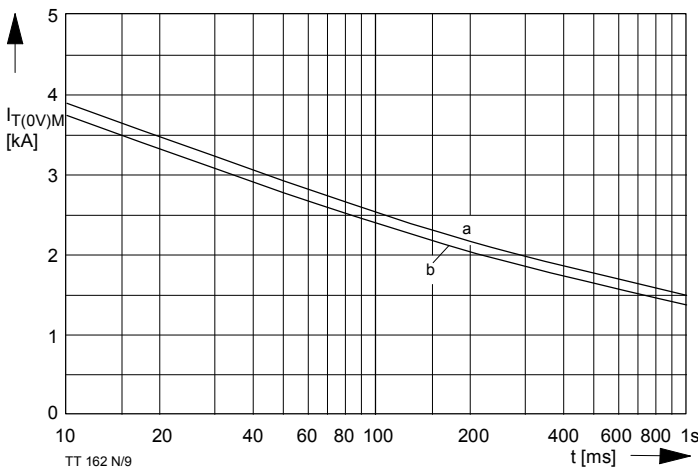


Bild / Fig. 9  
Grenzstrom je Zweig  $I_{T(0V)M}$ : Belastung aus Leerlauf,  $V_{RM} = 0,8 V_{RRM}$   
Maximum overload on-state current per arm  $I_{T(0V)M}$ : Surge current under no-load conditions,  $V_R = 0,8 V_{RRM}$   
a -  $t_A = 35^{\circ}\text{C}$ , verstärkte Luftkühlung / forced cooling  
b -  $t_A = 45^{\circ}\text{C}$ , Luftseltbstkühlung / natural cooling

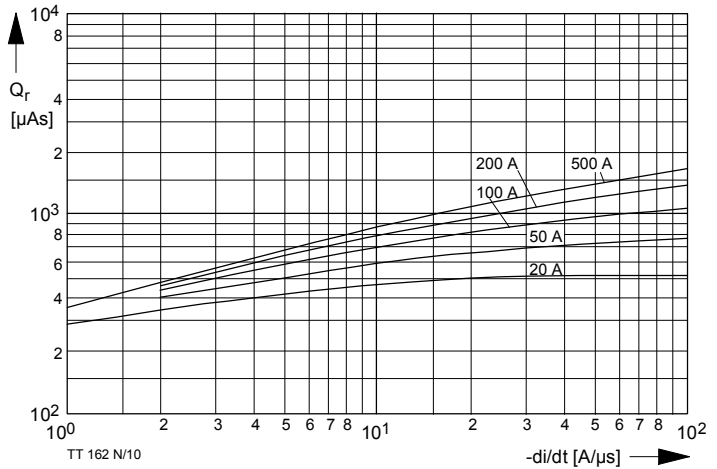


Bild / Fig. 10  
Sperrverzögerungsladung / Recovery charge  $Q_r = f(-di/dt)$   
 $t_{vj} = t_{vmax}$ ,  $V_R \leq 0,5 V_{RRM}$ ,  $V_{RM} = 0,8 V_{RRM}$   
Parameter: Durchlaßstrom / On-state current  $i_{TM}$

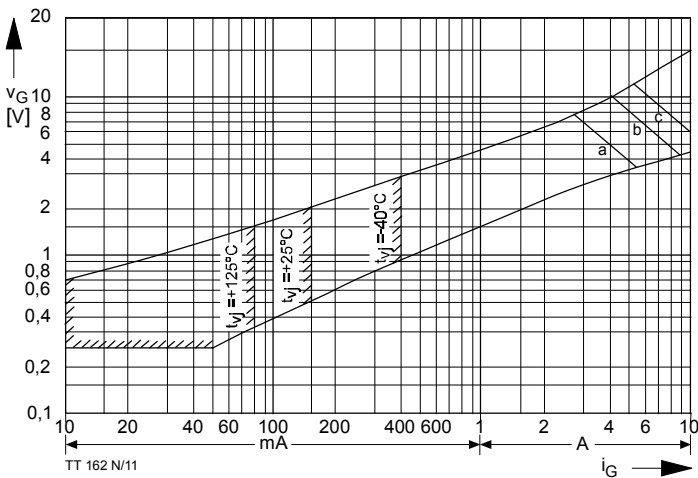


Bild / Fig. 11  
Steuercharakteristik mit Zündbereichen / Gate characteristic with triggering areas,  $v_G = f(i_G)$ ,  $V_D = 6 \text{ V}$   
Parameter:  
Steuerimpulsdauer / Pulse duration  $t_g$  [ms] a b c  
Höchstzulässige Spitzesteuerleistung/ Maximum allowable peak gate power [W] 20 40 60

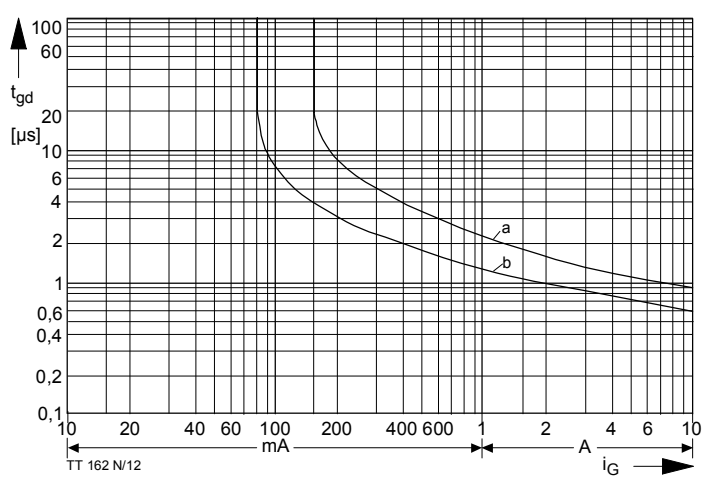


Bild / Fig. 12  
Zündverzug/Gate controlled delay time  $t_{gd}$ , DIN 41787,  $t_a = 1 \mu\text{s}$ ,  $t_{vj} = 25^{\circ}\text{C}$   
a - äußerster Verlauf/limiting characteristic  
b - typischer Verlauf/typical characteristic

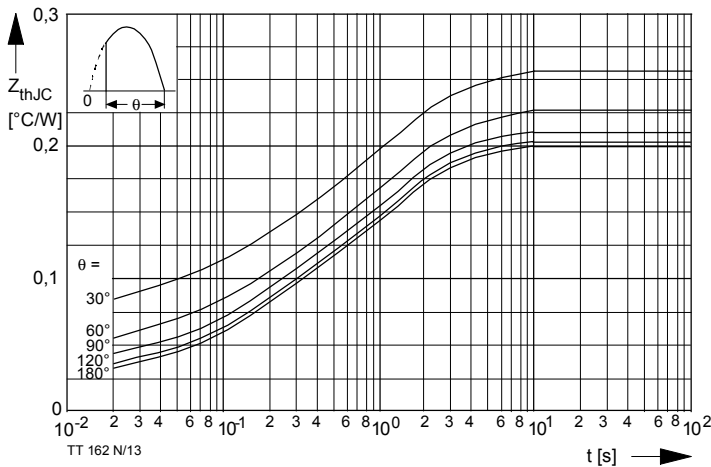


Bild / Fig. 13

Transienter innerer Wärmewiderstand je Zweig / Transient thermal impedance per arm  $Z_{(th)JC} = f(t)$   
Parameter: Stromflußwinkel / current conduction angle  $\theta$

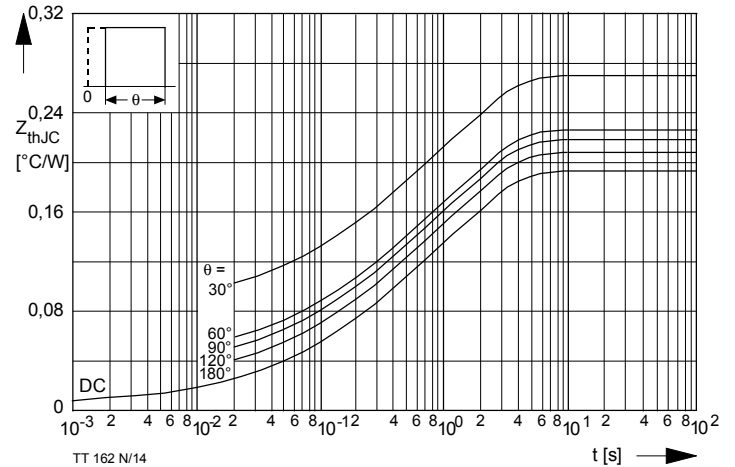


Bild / Fig. 14

Transienter innerer Wärmewiderstand je Zweig / Transient thermal impedance per arm  $Z_{(th)JC} = f(t)$   
Parameter: Stromflußwinkel / current conduction angle  $\theta$

Analytische Elemente des transienten Wärmewiderstandes  $Z_{thJC}$  pro Zweig für DC  
Analytical elements of transient thermal impedance  $Z_{thJC}$  per arm for DC

Pos. n	1	2	3	4	5	6	7
$R_{thn}$ [°C/W]	0,0094	0,0224	0,0586	0,102			
$\tau_n$ [s]	0,0014	0,0253	0,267	1,68			

Analytische Funktion / Analytical function:

$$Z_{thJC} = \sum_{n=1}^{n_{\max}} R_{thn} (1 - e^{-\frac{t}{\tau_n}})$$